

УДК 532.591+517.948

О ВЗАИМОДЕЙСТВИИ СДВИГОВЫХ ПОТОКОВ ИДЕАЛЬНОЙ НЕСЖИМАЕМОЙ ЖИДКОСТИ В КАНАЛЕ

А. А. Чесноков

Институт гидродинамики им. М. А. Лаврентьева СО РАН, 630090 Новосибирск
E-mail: chesnokov@hydro.nsc.ru

Рассматривается задача о распаде произвольного разрыва для уравнений, описывающих сдвиговые плоскопараллельные движения идеальной жидкости в узком канале. Исследован класс частных решений, соответствующий движениям жидкости с кусочно-постоянной завихренностью. В этом классе установлено существование автомодельных решений, описывающих все возможные нестационарные конфигурации волн, возникающих в результате нелинейного взаимодействия заданных сдвиговых потоков.

Ключевые слова: сдвиговые потоки, длинные волны, распад произвольного разрыва, гиперболичность.

Введение. Многие математические модели распространения длинноволновых возмущений в сдвиговых (завихренных) потоках жидкости и газа сводятся к нелинейным интегродифференциальным уравнениям. Качественный анализ различных моделей теории длинных волн проведен в [1] на основе развитого В. М. Тешуковым обобщения понятия гиперболичности и метода характеристик для систем уравнений с операторными коэффициентами [2]. Результаты исследований показывают как отличия данных моделей от дифференциальных гиперболических систем (в частности, наличие непрерывного спектра характеристических скоростей), так и аналогичные свойства. В процессе эволюции решений нелинейных обобщенно-гиперболических интегродифференциальных уравнений могут возникнуть сильные разрывы, что приводит к необходимости корректной формулировки уравнений движения в виде законов сохранения и анализу задачи о распаде произвольного разрыва (задачи Римана).

В данной работе рассматривается задача о распаде произвольного разрыва для нелинейных уравнений, описывающих сдвиговое движение с кусочно-постоянной завихренностью в узком канале. В этом классе получено и исследовано автомодельное решение. Показано, что в области взаимодействия сдвиговых потоков движение жидкости имеет существенно двумерный нестационарный характер. Это выражается в формировании струйного движения вдоль линии раздела потоков, направленного в зависимости от отношения завихренностей к верхней или нижней границе канала. Аналогичная постановка задачи изучена В. М. Тешуковым для модели со свободной границей [3] при определенных ограничениях на начальные данные, обусловленных выполнением условий сильной нелинейности характеристик. В настоящей работе построено решение задачи о взаимодействии сдвиговых потоков без ограничений на их завихренности и проанализированы соответствующие

Работа выполнена при финансовой поддержке Российского фонда фундаментальных исследований (код проекта 04-01-00253) и гранта Президента РФ по государственной поддержке молодых российских ученых (грант № МК-1734.2005.1).

волновые конфигурации, включающие либо простую волну, либо простую волну и сильный разрыв. В случае взаимодействия потоков с произвольными монотонными по глубине профилями скорости предложена дискретизация интегродифференциальных уравнений и выведены дифференциальные законы сохранения.

1. Постановка задачи. Уравнения плоскопараллельного движения идеальной несжимаемой жидкости в канале имеют вид

$$u_t + uu_x + vu_y + \rho^{-1}p_x = 0, \quad \varepsilon^2(v_t + uv_x + vv_y) + \rho^{-1}p_y = -g, \\ u_x + v_y = 0, \quad v(t, x, 0) = 0, \quad v(t, x, h_0) = 0.$$

Здесь безразмерные переменные t, x, y, u, v, p — время, декартовы координаты, компоненты вектора скорости и давление; постоянные ρ, g, h_0 — плотность, ускорение свободного падения и глубина канала (без ограничения общности эти константы можно положить равными единице); ε — отношение вертикального масштаба к горизонтальному, которое считается малым. В приближенной теории членами порядка ε^2 можно пренебречь, вследствие чего давление по глубине распределяется гидростатично: $p = g\rho(h_0 - y) + \rho p^*(t, x)$ (ρp^* — безразмерное давление на верхней крышке канала). В результате получаем следующую интегродифференциальную модель:

$$u_t + uu_x + vu_y + p_x^* = 0, \quad v = -\int_0^y u_x(t, x, y') dy', \quad \int_0^{h_0} u_x(t, x, y') dy' = 0. \quad (1)$$

Последнее уравнение системы (1) означает, что расход жидкости в канале

$$Q(t) = \int_0^{h_0} u(t, x, y) dy$$

не зависит от переменной x . Более того, при отсутствии источников расход $Q(t)$ можно считать равным нулю, поскольку уравнения (1) допускают преобразование перехода в неинерциальную систему координат

$$X = x - f(t), \quad U = u - f'(t), \quad P^* = p^* + xf''(t) \quad (2)$$

с произвольной функцией $f(t)$.

Из (1) следует, что функции $u_0(t, x)$ и $u_1(t, x)$ (скорости на верхней и нижней границах канала) удовлетворяют уравнениям

$$u_{0t} + u_0u_{0x} + p_x^* = 0, \quad u_{1t} + u_1u_{1x} + p_x^* = 0. \quad (3)$$

Используя любое из уравнений (3), можно исключить давление p^* из системы (1) и привести интегродифференциальную модель к эволюционному виду. Тогда для определения относительной скорости $w(t, x, y) = u(t, x, y) - u_1(t, x)$ получаем уравнение

$$w_t + (w^2/2 + wu_1)_x + vw_y = 0, \quad (4)$$

где

$$v = -yu_{1x} - \int_0^y w_x(t, x, y') dy', \quad u_1 = h_0^{-1} \left(Q(t) - \int_0^{h_0} w(t, x, y) dy \right).$$

Для решения уравнения (4) необходимо задать расход жидкости в канале $Q(t)$ и начальное распределение относительной скорости $w(0, x, y)$, такое что $w(0, x, h_0) = 0$. Далее будем

считать, что расход $Q = 0$ (в силу преобразования (2) это не ограничивает общности). Начальные данные для уравнения (4) зададим в виде

$$w|_{t=0} = \begin{cases} u^r(y) - u^r(h_0), & x > 0, \\ u^l(y) - u^l(h_0), & x < 0, \end{cases} \quad (5)$$

где $u^r(y)$, $u^l(y)$ — произвольные заданные функции, удовлетворяющие условию

$$Q = \int_0^{h_0} u^r(y) dy = \int_0^{h_0} u^l(y) dy = 0. \quad (6)$$

Начальные данные (5) являются обобщением классической постановки задачи Римана для интегродифференциального уравнения (4). Решение задачи (4), (5) описывает нестационарные волновые конфигурации, образующиеся при взаимодействии заданных сдвиговых потоков, заполняющих канал.

В ряде случаев для анализа характеристических свойств и формулировки систем законов сохранения моделей теории длинных волн целесообразно использовать смешанные эйлерово-лагранжевы переменные [4]. В уравнениях (1) переход к этим координатам осуществляется путем замены переменной $y = \Phi(t, x, \lambda)$ ($\Phi(t, x, \lambda)$ — решение задачи Коши):

$$\Phi_t + u(t, x, \Phi)\Phi_x = v(t, x, \Phi), \quad \Phi(0, x, \lambda) = \Phi_0(x, \lambda) \quad (0 \leq \lambda \leq 1).$$

Замена переменных обратима при условии $\Phi_\lambda \neq 0$. Для определения функций $\Phi_\lambda = u(t, x, \lambda)$ и $\Phi_\lambda = H(t, x, \lambda)$ имеем систему дифференциальных уравнений с дополнительным интегральным условием

$$(u - u_1)_t + ((u^2 - u_1^2)/2)_x = 0, \quad H_t + (uH)_x = 0, \\ \int_0^1 H d\lambda = h_0 \quad (u_1 = u(t, x, 1)). \quad (7)$$

В работе [5] система уравнений (7) приведена к эволюционному виду

$$w_t + (w^2/2 + wu_1)_x = 0, \quad H_t + (uH)_x = 0, \\ u_1 = -\left(\int_0^1 H d\lambda\right)^{-1} \int_0^1 wH d\lambda, \quad u = w + u_1 \quad (8)$$

и исследована на основе обобщения понятий характеристик и гиперболичности для систем с операторными коэффициентами [1]. Для течений с монотонным по глубине профилем скорости ($u_\lambda \neq 0$) получено характеристическое уравнение

$$\chi(k) = -\frac{1}{\omega_1(u_1 - k)} + \frac{1}{\omega_0(u_0 - k)} + \int_0^1 \left(\frac{1}{\omega}\right)_\lambda \frac{d\lambda}{u - k} = 0, \quad (9)$$

установлено существование непрерывного характеристического спектра $k(t, x) = u(t, x, \lambda)$ и сформулированы условия гиперболичности

$$\Delta \arg(\chi^+/\chi^-) = 0, \quad \chi^\pm \neq 0.$$

Здесь $\omega = u_\lambda/H$; комплексные функции $\chi^\pm(u(\lambda))$ — предельные значения $\chi(k)$ из верхней и нижней полуплоскостей на отрезке $[u_0, u_1]$; приращение аргумента функции χ^+/χ^-

вычисляется при изменении λ от 0 до 1; нижние индексы 0 и 1 означают, что функции берутся при $\lambda = 0, 1$ соответственно.

Для определения разрывных решений модели сдвигового движения жидкости в канале используем систему законов сохранения (7). Первое уравнение представляет собой локальный закон сохранения относительного импульса, второе — локальный закон сохранения массы, последнее уравнение является замыкающим. Первые два уравнения системы (7) совпадают с предложенными в [6, 7] законами сохранения для описания разрывных решений уравнений вихревой мелкой воды, моделирующих распространение длинноволновых возмущений в слое жидкости со свободной границей. Условия на разрыве, соответствующие законам сохранения (7), имеют вид

$$[(u - D)^2 - (u_1 - D)^2] = 0, \quad [(u - D)H] = 0, \quad [Q] = 0. \tag{10}$$

Из уравнений (10) следует соотношение $[\omega] = [u_\lambda/H] = 0$ (завихренность при переходе через разрыв сохраняется).

2. Уравнение двухслойного движения с кусочно-постоянной завихренностью. Рассмотрим задачу (1) с начальными данными вида (5), в которых

$$u^r(y) = \omega_1 y + u_0^r, \quad u^l(y) = \omega_2 y + u_0^l,$$

ω_i, u_0^r, u_0^l — постоянные. Используя формулу (6), определим скорости на нижней и верхней крышках канала:

$$u_0^l = -\omega_2 h_0/2, \quad u_0^r = -\omega_1 h_0/2, \quad u_1^l = \omega_2 h_0/2, \quad u_1^r = \omega_1 h_0/2. \tag{11}$$

Решение уравнений (1) в области взаимодействия потоков (область $ABCF$ на рис. 1) представим в виде

$$u(t, x, y) = \begin{cases} \Omega_1 y + u_0(t, x), & 0 \leq y \leq h(t, x), \\ \Omega_2 (y - h_0) + u_1(t, x), & h(t, x) \leq y \leq h_0; \end{cases} \tag{12}$$

$$v(t, x, y) = \begin{cases} -y u_{0x}, & 0 \leq y \leq h(t, x), \\ (h - y) u_{1x} - h u_{0x}, & h(t, x) \leq y \leq h_0. \end{cases} \tag{13}$$

Для случая, представленного на рис. 1, a (рис. 1, δ), $\Omega_1 = \omega_1, \Omega_2 = \omega_2$ ($\Omega_1 = \omega_2, \Omega_2 = \omega_1$). Конфигурации, показанные на рис. 1, a (рис. 1, δ), реализуются при положительных (отрицательных) завихренностях ω_i . Отметим, что достаточно рассмотреть один из этих

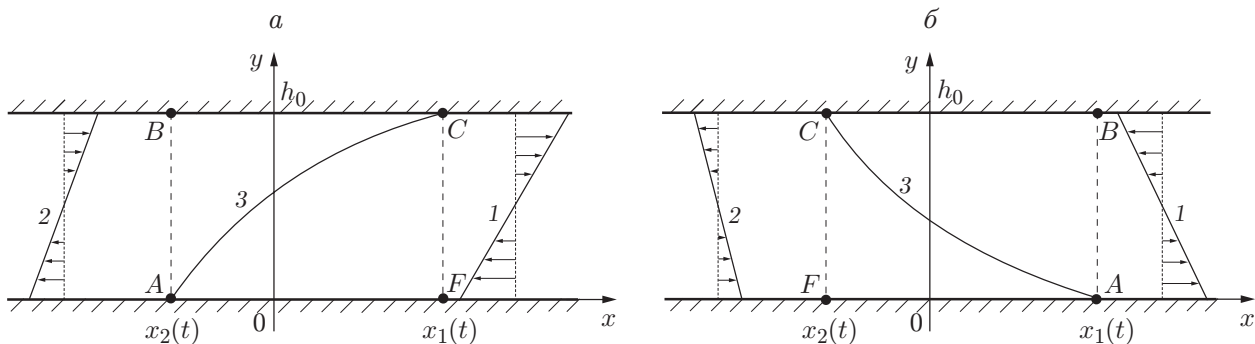


Рис. 1. Двухслойное движение жидкости с положительными (а) и отрицательными (б) кусочно-постоянными завихренностями:

- 1 — профиль скорости потока с завихренностью ω_1 ; 2 — то же с завихренностью ω_2 ;
- 3 — линия раздела потоков с завихренностями ω_1 и ω_2

случаев, так как в силу симметрии относительно центральной линии канала они сводятся друг к другу соответствующей заменой переменных.

Используя представление решения (12) и условие непрерывности скорости на границе раздела потоков с постоянными завихренностями Ω_1 и Ω_2 , можно выразить u_1 через u_0 и h :

$$u_1(t, x) = (\Omega_1 - \Omega_2)h(t, x) + u_0(t, x) + \Omega_2 h_0. \quad (14)$$

В силу (13) и условия $v(t, x, h_0) = 0$ имеем уравнение $(h_0 - h)u_{1x} + hu_{0x} = 0$, проинтегрировав которое с учетом (14) получаем

$$u_0 = \frac{\Omega_1 - \Omega_2}{2h_0} h^2 - (\Omega_1 - \Omega_2)h + a(t). \quad (15)$$

Расход жидкости в канале равен нулю:

$$Q = \int_0^{h_0} u dy = a(t)h_0 + \frac{\Omega_2 h_0^2}{2} = 0,$$

поэтому $a(t) \equiv -\Omega_2 h_0/2$. Для построения решения необходимо удовлетворить кинематическому условию $h_t + u(t, x, h)h_x = v(t, x, h)$ на линии раздела $y = h(t, x)$ потоков с разными постоянными завихренностями. С учетом (12), (13) это условие принимает вид

$$h_t + (\Omega_1 h + u_0)h_x + hu_{0x} = 0.$$

С использованием (15) последнее уравнение приводится к скалярному закону сохранения

$$\frac{\partial h}{\partial t} + \frac{\partial \varphi}{\partial x} = 0, \quad \varphi(h) = \frac{\Omega_1 - \Omega_2}{2h_0} h^3 + \left(\Omega_2 - \frac{\Omega_1}{2}\right) h^2 - \frac{\Omega_2 h_0}{2} h. \quad (16)$$

Таким образом, построение решения задачи о движении двухслойной жидкости с кусочно-постоянной завихренностью сведено к интегрированию уравнения (16). В зависимости от завихренностей ω_1 и ω_2 в начальный момент времени ($t = 0$) либо $h = h_0$ при $x > 0$ и $h = 0$ при $x < 0$, либо $h = 0$ при $x > 0$ и $h = h_0$ при $x < 0$.

Условие сильной нелинейности характеристики уравнения (16) заключается в выпуклости функции $\varphi(h)$ для всех $h \in (0, h_0)$. Введем обозначение $\alpha_0 = \Omega_1/\Omega_2$. Тогда условие $\varphi''(h) \neq 0$ принимает вид

$$2^{-1} < \alpha_0 < 2. \quad (17)$$

Неравенство (17) означает, что параметр $\alpha = \omega_1/\omega_2$ принадлежит интервалу $(1/2, 2)$.

3. Простая волна взаимодействия потоков. При выполнении неравенства (17) существует непрерывное решение рассматриваемой задачи, задаваемое простой волной. Учитывая инвариантность уравнения (16) и начальных данных (5) относительно равномерного растяжения переменных x и t , решение ищем в виде автомодельной простой волны $h = h(k)$ ($k = x/t$). Получаем уравнение $(\varphi'(h) - k)h'(k) = 0$, в силу которого

$$k = \varphi'(h) = \frac{3(\Omega_1 - \Omega_2)}{2h_0} h^2 + (2\Omega_2 - \Omega_1)h - \frac{\Omega_2 h_0}{2} \quad (18)$$

при $h'(k) \neq 0$. Решение характеристического уравнения (9) дает такой же результат.

Из формул (11) следует, что $u_1^r - u_0^l = u_1^l - u_0^r$, поэтому справедливо одно из двух неравенств: $u_1^r > u_0^l$ (см. рис. 1, а) или $u_0^r > u_1^l$ (см. рис. 1, б). Используя ω_i , эти неравенства можно записать в виде $\omega_1 + \omega_2 > 0$ или $\omega_1 + \omega_2 < 0$. При этом характеристический корень k в области взаимодействия потоков изменяется от u_0^l до u_1^r или от u_1^l до u_0^r . В силу замечания

о симметрии течения относительно средней линии канала достаточно рассмотреть случай $\omega_1 + \omega_2 > 0$, при этом начальные данные для уравнения (16) имеют вид

$$h(0, x) = \begin{cases} 0, & x < 0, \\ h_0, & x > 0. \end{cases} \quad (19)$$

Дифференцируя (18), находим выражения для первой и второй производных функции $h(k)$:

$$h'(k) = \left(\frac{3(\Omega_1 - \Omega_2)}{h_0} h(k) + 2\Omega_2 - \Omega_1 \right)^{-1}, \quad h''(k) = -\frac{3(\Omega_1 - \Omega_2)}{h_0} (h'(k))^3. \quad (20)$$

Из (20) следует, что при $\Omega_i > 0$ выполняется неравенство $h'(k) > 0$, причем в случае $0 < \Omega_2 < \Omega_1$ функция $h(k)$ выпукла вверх, а в случае $0 < \Omega_1 < \Omega_2$ — выпукла вниз.

Пусть $0 < \omega_2 < \omega_1$, $\omega_1/\omega_2 = \alpha < 2$ и $\Omega_1 = \omega_1$, $\Omega_2 = \omega_2$. Другие случаи анализируются аналогично. Решая уравнение (16), определяем линию $y = h(k)$ ($k = x/t \in (u_0^l, u_1^r)$), разделяющую потоки с разными завихренностями:

$$h(k) = -\frac{(2\omega_2 - \omega_1)h_0}{3(\omega_1 - \omega_2)} + \sqrt{\frac{(2\omega_2 - \omega_1)^2 h_0^2}{9(\omega_1 - \omega_2)^2} + \frac{h_0(2k + \omega_2 h_0)}{3(\omega_1 - \omega_2)}} \quad (21)$$

(выбираем ветвь решения со знаком “плюс” перед квадратным корнем, так как $\omega_1 > \omega_2$ и $h'(k) > 0$). Подставляя функцию $h(x/t)$ в формулы (15), (14) и используя представленные решения (12), (13), определяем поле скоростей (u, v) в волне взаимодействия потоков. Давление на верхней границе канала p^* находится путем интегрирования любого из уравнений (3). Следует отметить, что границы области взаимодействия потоков движутся с характеристической скоростью. Действительно, при $h \rightarrow 0$ ($h \rightarrow h_0$) характеристический корень $k \rightarrow u_0^l = x_2'(t)$ ($k \rightarrow u_1^r = x_1'(t)$).

Для качественного анализа решения найдем значения функций $h(k)$, $u_{1,2}(k)$, $\bar{u}(k)$ и их первых производных в точках A и C (при $k = u_0^l, u_1^r$):

$$h(u_0^l) = 0, \quad h(u_1^r) = h_0, \quad u_0(u_0^l) = u_0^l, \quad u_0(u_1^r) = u_0^r, \quad u_1(u_0^l) = u_1^l, \quad u_1(u_1^r) = u_1^r.$$

Из первой формулы (20) следует

$$h'(u_0^l) = -(\omega_1 - 2\omega_2)^{-1}, \quad h'(u_1^r) = (2\omega_1 - \omega_2)^{-1}.$$

Учитывая связь между производными

$$u_0' = ((\omega_1 - \omega_2)h/h_0 - \omega_1 + \omega_2)h', \quad u_1' = (\omega_1 - \omega_2)h' + u_0', \quad \bar{u}' = \omega_1 h' + u_0',$$

находим значения функций $u_{1,2}'(k)$, $\bar{u}(k)$ в точках A и C :

$$\begin{aligned} u_0'(u_0^l) &= \frac{\alpha - 1}{\alpha - 2}, & u_1'(u_0^l) &= 0, & \bar{u}'(u_0^l) &= \frac{1}{2 - \alpha}, \\ u_0'(u_1^r) &= 0, & u_1'(u_1^r) &= \frac{\alpha - 1}{2\alpha - 1}, & \bar{u}'(u_1^r) &= \frac{\alpha}{2\alpha - 1}. \end{aligned} \quad (22)$$

4. Траектории движения частиц. Интегральные кривые $x = x(t)$, $y = y(t)$ системы дифференциальных уравнений $x'(t) = u(k, y)$, $y'(t) = v(t, x, y) = t^{-1}V(k, y)$ ($k = x/t$) задают траектории движения частиц. Перейдем в плоскость переменных (k, y) и выполним замену переменной $s = \ln(t/t_0)$. Тогда уравнения для определения траекторий принимают вид

$$\frac{dk}{ds} = u(k, y) - k, \quad \frac{dy}{ds} = V(k, y). \quad (23)$$

Рассмотрим область $ACF = \{(k, y): u_0^l < k < u_1^r, 0 < y < h(k)\}$ (см. рис. 1), в которой согласно представлению решения (12), (13)

$$u(k, y) = \omega_1 y + u_0(k), \quad V(k, y) = -y u_0'(k).$$

Особыми точками системы (23) являются точки $A = (u_0^l, 0)$ и $C = (u_1^r, h_0)$. Используя (22), выполним линеаризацию уравнений (23) в окрестности точки A :

$$\frac{dk}{ds} = \omega_1 y - \frac{k - u_0^l}{2 - \alpha}, \quad \frac{dy}{ds} = \frac{\alpha - 1}{2 - \alpha} y.$$

Собственные значения матрицы коэффициентов

$$\lambda_1 = -(2 - \alpha)^{-1} < 0, \quad \lambda_2 = (2 - \alpha)(\alpha - 1) > 0$$

вещественные и разных знаков ($1 < \alpha < 2$), поэтому особая точка A является седлом. Уравнения (23), линеаризованные в окрестности точки C , имеют вид

$$\frac{dk}{ds} = \omega_1(y - h_0) - (k - u_1^r), \quad \frac{dy}{ds} = -h_0 u_0''(u_1^r)(k - u_1^r).$$

Полагая $k = u_1^r$ в формуле

$$u_0''(k) = \frac{\omega_1 - \omega_2}{h_0} (h'(k))^2 + \left(\frac{\omega_1 - \omega_2}{h_0} h(k) - \omega_1 + \omega_2 \right) h''(k)$$

и учитывая (21), (20), найдем $u_0''(u_1^r)$:

$$u_0''(u_1^r) = \frac{\alpha(\alpha - 1)}{\omega_1 h_0 (2\alpha - 1)^2}.$$

Вычисление характеристических корней матрицы правой части системы (23), линеаризованной в окрестности точки C , дает

$$\lambda_{1,2} = -\frac{1}{2} \left(1 \mp \frac{1}{2\alpha - 1} \right) < 0.$$

Следовательно, особая точка C — узел.

Рассмотрим область $ABC = \{(k, y): u_0^l < k < u_1^r, h(k) < y < h_0\}$ (см. рис. 1), в которой функции $u - k$ и V имеют вид

$$u - k = u_1(k) + \omega_2(y - h_0) - k, \quad V = -(y - h(k))u_1'(k) - h(k)u_0'(k)$$

и обращаются в нуль в точках $A = (u_0^l, 0)$ и $C = (u_1^r, h_0)$. Линеаризуя систему (23) в окрестности особой точки A , имеем

$$\frac{dk}{ds} = -(k - u_0^l) + \omega_2 y, \quad \frac{dy}{ds} = \frac{\alpha - 1}{\omega_2(\alpha - 2)^2} (k - u_0^l).$$

Вычисление характеристических корней матрицы коэффициентов правой части линеаризованной системы показывает, что корни

$$\lambda_{1,2} = -\frac{1}{2} \left(1 \mp \frac{\alpha}{2 - \alpha} \right)$$

вещественные и разных знаков. Поэтому точка A является седлом. Линеаризуя уравнения (23) в окрестности особой точки C , получаем

$$\frac{dk}{ds} = \frac{\alpha}{1 - 2\alpha} (k - u_1^r) + \omega_2(y - h_0), \quad \frac{dy}{ds} = \frac{\alpha - 1}{1 - 2\alpha} (y - h_0).$$

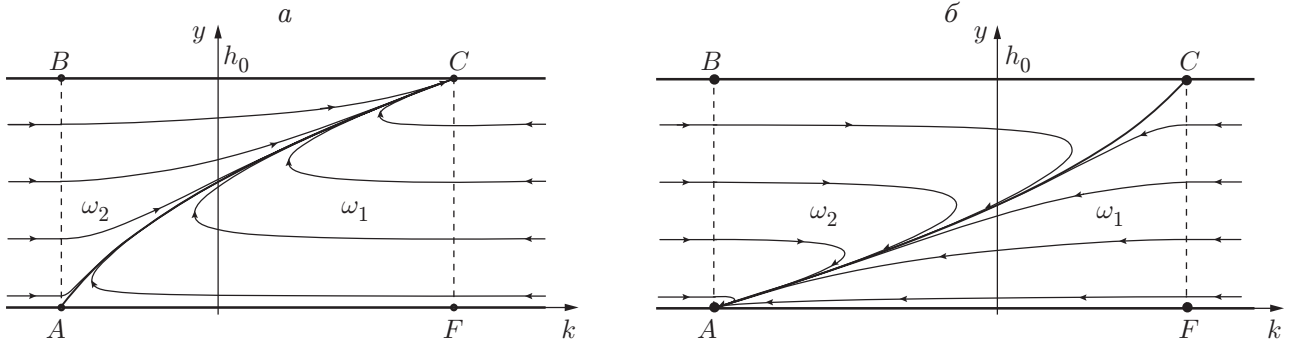


Рис. 2. Траектории движения частиц в автомодельной простой волне:
 а — $0 < \omega_2 < \omega_1$; б — $0 < \omega_1 < \omega_2$

Собственные значения матрицы коэффициентов

$$\lambda_{1,2} = -\frac{1}{2} \left(1 \mp \frac{1}{2\alpha - 1} \right) < 0$$

вещественные и одного знака. Следовательно, точка C — узел.

Результаты численного интегрирования уравнений (23) иллюстрируют установленный характер особенностей в точках A и C (рис. 2, а). В случае $0 < \omega_1 < \omega_2$, $1/2 < \alpha < 1$ точки $A = (u_0^l, 0)$, $C = (u_1^r, h_0)$ также являются особыми для системы уравнений (23), описывающих траектории движения частиц. При этом точка A является узлом, а точка C — седлом (рис. 2, б). Вдоль линии раздела потоков с разными завихренностями формируется струйное движение, имеющее существенно двумерный характер.

5. Дискретизация уравнений (8), дифференциальные законы сохранения.

Уравнения сдвигового движения жидкости в канале являются интегродифференциальными, что не позволяет применить к ним методы, развитые для численного расчета дифференциальных систем законов сохранения. Следуя [7], разобьем отрезок $[0, 1]$ на N интервалов ($0 = \lambda_0 < \lambda_1 < \dots < \lambda_{N-1} < \lambda_N = 1$) и введем обозначения

$$y_i = \Phi(t, x, \lambda_i), \quad \eta_i = y_i - y_{i-1}, \quad u_i = u(t, x, \lambda_i), \\ \omega_i = (u_i - u_{i-1})/\eta_i, \quad u_{ci} = (u_i + u_{i-1})/2.$$

Интегрируя по λ уравнения системы (8), имеем

$$\left(\int_{\lambda_{i-1}}^{\lambda_i} H d\lambda \right)_t + \left(\int_{\lambda_{i-1}}^{\lambda_i} uH d\lambda \right)_x = 0, \quad (u_i - u_{i-1})_t + ((u_i^2 - u_{i-1}^2)/2)_x = 0,$$

$$u_N = - \left(\sum_{i=1}^N \int_{\lambda_{i-1}}^{\lambda_i} H d\lambda \right)^{-1} \sum_{i=1}^N \int_{\lambda_{i-1}}^{\lambda_i} wH d\lambda.$$

Учитывая, что $H d\lambda = dy$, и применяя кусочно-линейную аппроксимацию профиля скорости по глубине

$$u = \omega_i(y - y_{i-1}) + u_{i-1}, \quad y \in [y_{i-1}, y_i],$$

получим систему $2N$ дифференциальных уравнений для определения величин $(\eta_1, \dots, \eta_N, \omega_1\eta_1, \dots, \omega_N\eta_N)$:

$$\frac{\partial \eta_i}{\partial t} + \frac{\partial}{\partial x} (u_{ci}\eta_i) = 0, \quad \frac{\partial}{\partial t} (\omega_i\eta_i) + \frac{\partial}{\partial x} (u_{ci}\omega_i\eta_i) = 0 \quad (i = 1, \dots, N), \quad (24)$$

$$u_{ci} = u_0 + \frac{\omega_i \eta_i}{2} + \sum_{j=1}^{i-1} \omega_j \eta_j, \quad u_0 = - \left(\sum_{i=1}^N \eta_i \right)^{-1} \sum_{i=1}^N \eta_i \left(\frac{\omega_i \eta_i}{2} + \sum_{j=1}^{i-1} \omega_j \eta_j \right).$$

Уравнения (24), полученные путем дискретизации интегродифференциальных законов сохранения (8), описывают многослойное движение идеальной жидкости в канале с кусочно-линейным профилем скорости по глубине в каждом из N слоев. Следствием системы является уравнение $(\eta_1 + \dots + \eta_N)_t = 0$. Если $\eta_1 + \dots + \eta_N = h_0 = \text{const}$ при $t = 0$, то глубина канала равна h_0 во все моменты времени. Численное решение системы (24) можно получить на основе методов, развитых для решения гиперболических уравнений [8].

Следует отметить, что уравнение (16), используемое для описания двухслойного движения жидкости, является частным случаем системы (24). Действительно, рассмотрим случай $N = 2$ с начальными данными

$$\eta_i(0, x) = \begin{cases} 2^{-1}(1 + (-1)^i)h_0, & x < 0, \\ 2^{-1}(1 + (-1)^{i+1})h_0, & x > 0, \end{cases}$$

$$\omega_i \eta_i|_{t=0} = \eta_i(0, x) \Omega_i \quad (\Omega_i = \text{const}, \quad h_0 = \text{const}, \quad i = 1, 2).$$

Тогда в силу (24) при взаимодействии потоков завихренность в слоях сохраняет постоянные значения $\omega_i = \Omega_i$, поэтому третье и четвертое уравнения для определения $\omega_1 \eta_1$ и $\omega_2 \eta_2$ совпадают с первыми двумя уравнениями для нахождения η_1 и η_2 . С учетом равенства $\eta_1 + \eta_2 = h_0$ и обозначения $\eta_1 = h$ первые два уравнения (24) преобразуются к закону сохранения (16).

6. Решение с сильным разрывом. Построение решения задачи о взаимодействии сдвиговых потоков с кусочно-постоянными завихренностями ω_i ($i = 1, 2$) в канале сведено к интегрированию скалярного закона сохранения (16), в котором следует положить $\Omega_1 = \omega_1$ и $\Omega_2 = \omega_2$ при $\omega_1 + \omega_2 > 0$ или $\Omega_1 = \omega_2$ и $\Omega_2 = \omega_1$ при $\omega_1 + \omega_2 < 0$. В случае, если функция $\varphi(h)$ не является выпуклой, непрерывного решения уравнения (16), связывающего значения $h = h^-$ и $h = h^+$ ($h^- = 0, h^+ = h_0$ или $h^- = h_0, h^+ = 0$), не существует.

Получим решение уравнения (16) с начальными данными (19) в виде комбинации автомодельной простой волны и сильного разрыва. Согласно общей теории гиперболических уравнений [9, 10] для получения устойчивого разрывного решения “невыпуклого” закона сохранения необходимо построить выпуклое расширение с учетом условий устойчивости разрыва [11]:

$$\begin{aligned} \frac{\varphi(h) - \varphi(h^-)}{h - h^-} &\geq D & (h^- < h < h^+), \\ \frac{\varphi(h) - \varphi(h^+)}{h - h^+} &\leq D & (h^+ < h < h^-). \end{aligned} \quad (25)$$

Как отмечено выше, достаточно рассмотреть случай $\Omega_1 + \Omega_2 > 0$, соответствующий начальным данным $h = h^- = 0$ при $x < 0$ и $h = h^+ = h_0$ при $x > 0$. Для этого используем первое неравенство (25) и построим “нижнее” выпуклое расширение (рис. 3) путем замены на участке $(0, h_*)$ (или (h_*, h_0)) кривой $\varphi = \varphi(h)$ отрезком прямой (штриховая линия). Угловой коэффициент штриховой прямой (рис. 3) равен скорости распространения разрыва D , длина отрезка, на котором кривая $\varphi = \varphi(h)$ заменяется отрезком прямой, равна амплитуде разрыва h_* .

Величины D и h_* определяются из решения системы уравнений $\varphi(h_*) = Dh_*$ и $\varphi'(h_*) = D$ (рис. 3, а, б):

$$D = \frac{\alpha_0^2 \Omega_2 h_0}{8(1 - \alpha_0)}, \quad h_* = \frac{(\alpha_0 - 2)h_0}{2(\alpha_0 - 1)} \quad \left(\alpha_0 = \frac{\Omega_1}{\Omega_2} \right). \quad (26)$$

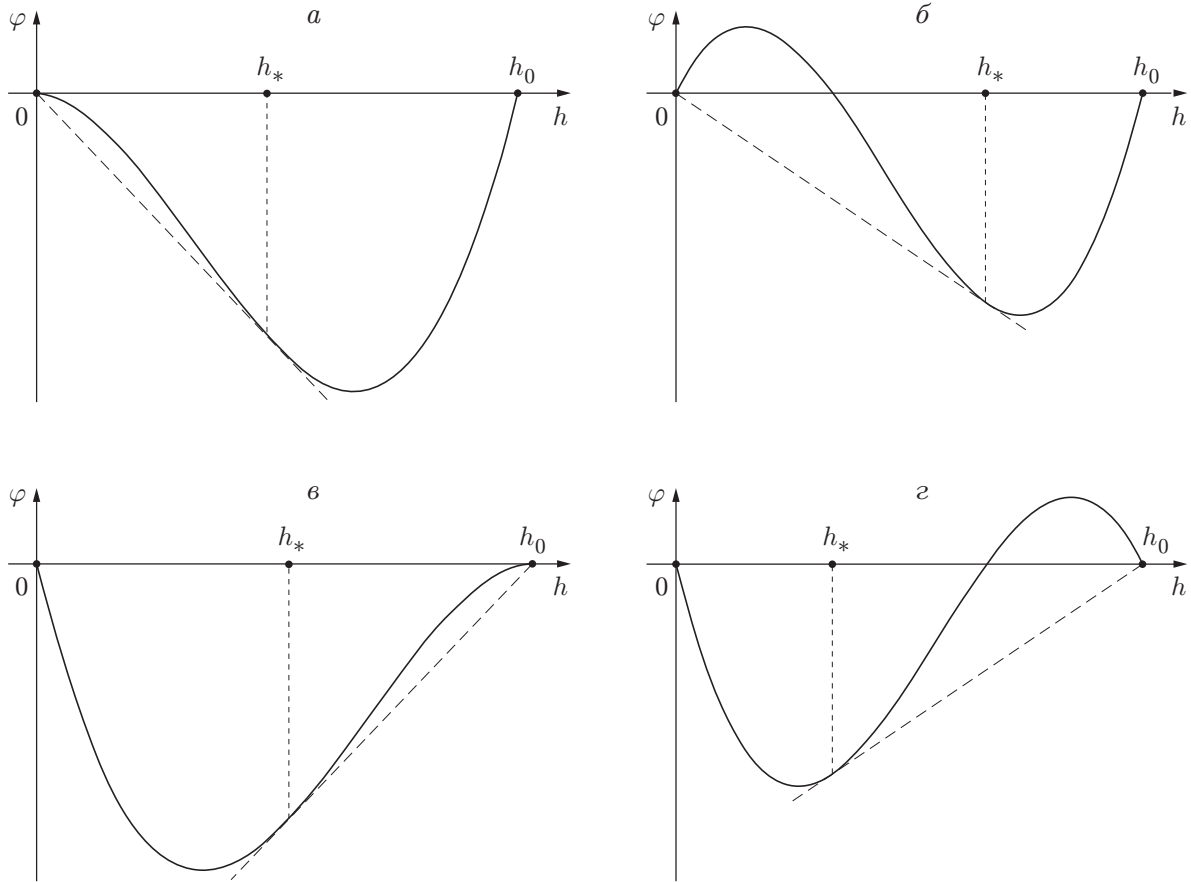


Рис. 3. Построение выпуклого расширения для закона сохранения (16) в случаях:

а — $0 < \Omega_2 < \Omega_1, \Omega_1/\Omega_2 > 2$; б — $\Omega_2 < 0 < \Omega_1, |\Omega_2| < \Omega_1$; в — $0 < \Omega_1 < \Omega_2, \Omega_1/\Omega_2 < 1/2$; г — $\Omega_1 < 0 < \Omega_2, |\Omega_1| < \Omega_2$

В случаях, представленных на рис. 3, в, г, скорость и амплитуда разрыва находятся аналогично из системы $\varphi(h_*) = D(h_* - h_0), \varphi'(h_*) = D$.

Картина движений на плоскости событий (x, t) показана на рис. 4, где штриховой линией выделен сильный разрыв $x = Dt$, сплошные линии — “веер” характеристик простой волны, наклон которых меняется от D до u_1^r (рис. 4, а) либо от u_0^l до D (рис. 4, б).

Рассмотрим два случая, когда заданные постоянные завихренности ω_i удовлетворяют неравенствам:

- 1) $0 < \omega_2 < \omega_1, \omega_1/\omega_2 > 2$;
- 2) $\omega_2 < 0 < \omega_1, |\omega_2| < \omega_1$.

Случаи 1 и 2 исчерпывают все качественные особенности решения задачи о взаимодействии сдвиговых потоков в рамках используемой модели. При этом следует положить $\Omega_1 = \omega_1, \Omega_2 = \omega_2, \alpha_0 = \alpha = \omega_1/\omega_2$ и в качестве начальных данных для уравнения (16) взять функцию $h(x)$, равную нулю при $x < 0$ и равную h_0 при $x > 0$.

Разрывное решение 1. Решение уравнения (16) имеет вид

$$h(t, x) = \begin{cases} 0, & x < Dt, \\ \bar{h}(k), & Dt \leq x \leq \varphi'(h_0)t, \\ h_0, & x > \varphi'(h_0)t. \end{cases} \quad (27)$$

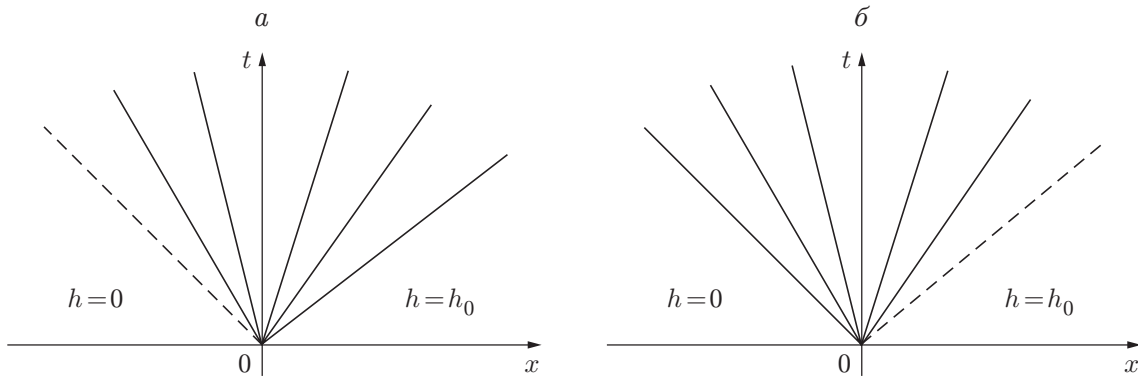


Рис. 4. Возможные волновые конфигурации: устойчивый разрыв (штриховая линия) и простая центрированная волна, примыкающая к фронту разрыва (сплошные линии):

a — $0 < \Omega_2 < \Omega_1$, $\Omega_1/\Omega_2 > 2$ или $\Omega_2 < 0 < \Omega_1$, $|\Omega_2| < \Omega_1$; b — $0 < \Omega_1 < \Omega_2$, $\Omega_1/\Omega_2 < 1/2$ или $\Omega_1 < 0 < \Omega_2$, $|\Omega_1| < \Omega_2$

Здесь скорость разрыва D задается первой формулой в (26); наклон характеристики $\varphi'(h_0)$, по которой простая волна примыкает к заданному сдвиговому потоку, равен $u_1^* = \omega_1 h_0/2$; функция $\bar{h}(k)$ задана формулой (21) при $k = x/t \in (D, \varphi'(h_0)]$. Используя известную функцию $h(t, x) = \bar{h}(x/t)$ и формулы (12)–(15), (3), нетрудно восстановить решение исходной задачи (4) (найти поле скоростей (u, v) и давление p). В решениях типа 1 отношение амплитуды разрыва к глубине канала $h_*/h_0 \in (0, 1/2)$ (величина h_* определяется второй формулой в (26), минимальное значение h_*/h_0 достигается при $\alpha \rightarrow 2$, максимальное — при $\alpha \rightarrow \infty$).

Соотношения на разрыве (10) в эйлеровых координатах принимают вид

$$[(u - D)^2 - (u_1 - D)^2] = 0, \quad [(u - D)dy] = 0, \quad [Q] = 0. \quad (28)$$

Горизонтальная компонента вектора скорости $u(k, y)$ за фронтом разрыва имеет вид

$$u(D + 0, y^+) = u^+(y^+) = \begin{cases} \omega_1 y^+ + u_0^*, & 0 \leq y^+ \leq h_*, \\ \omega_2 (y^+ - h_0) + u_1^*, & h_* \leq y^+ \leq h_0, \end{cases}$$

где

$$u_0^* = u_0(D + 0) = -\frac{(3\alpha - 4)\alpha\omega_2 h_0}{8(\alpha - 1)}, \quad u_1^* = u_1(D + 0) = \frac{\alpha^2 \omega_2 h_0}{8(\alpha - 1)} = -D.$$

Перед разрывом $u(D - 0, y) = u^l(y) = \omega_2 y + u_0^l$. Поэтому второе уравнение (28) имеет вид

$$(u^+(y^+) - D) dy^+ = (u^l(y) - D) dy.$$

Решая это уравнение с учетом $y^+(0) = h_*$, определяем функцию

$$y^+(y) = -\frac{\alpha - 2}{2} h_* + \sqrt{\frac{\alpha - 2}{2} h_* y + y^2 + \frac{\alpha^2 h_*^2}{4}} \quad (0 \leq y \leq h_0), \quad (29)$$

задающую закон соответствия точек входа и выхода траекторий на фронте разрыва (при интегрировании учтено, что $u^l(y) - D > 0$, $u^+(y^+) - D > 0$, $h_* \leq y^+ \leq h_0$).

Траектории движения частиц в построенном разрывном решении при $\omega_1 = 10$, $\omega_2 = 1$, $h_0 = 1$ показаны на рис. 5. (Вид рис. 5 качественно не меняется при всех значениях ω_i , удовлетворяющих неравенствам в случае 1.) Согласно (29) сдвиговой поток с завихренностью

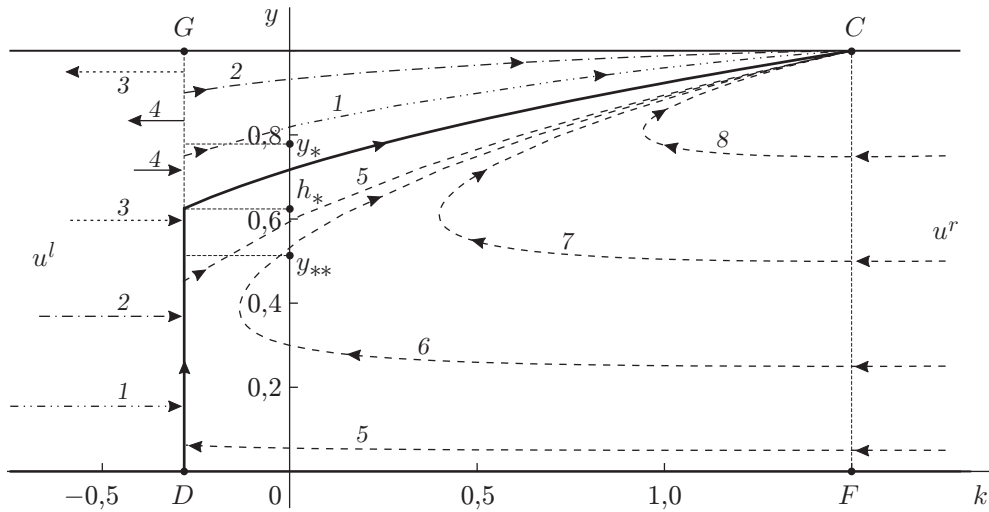


Рис. 6. Траектории движения частиц в разрывном решении 2 ($\omega_2 < 0 < \omega_1$, $|\omega_2| < \omega_1$)

В результате вычисления интегралов

$$e^l = \int_0^{h_0} (u^l - D)(u^l)^2 dy, \quad e^+ = \int_0^{h_0} (u^+ - D)(u^+)^2 dy$$

при $\alpha > 2$, $\omega_2 > 0$ получаем неравенство $e^+ - e^l < 0$, выражающее убывание потока энергии на разрыве.

Разрывное решение 2. В случае выполнения неравенства $u^l - D \geq 0$ при $\alpha < -2(1 + \sqrt{2})$ вид решения качественно соответствует разрывному решению 1. Пусть $-2(1 + \sqrt{2}) < \alpha < -1$, т. е. величина $u^l - D$ меняет знак. Линия $y = h(t, x)$, разделяющая потоки с завихренностями ω_1 и ω_2 , задается формулой (27). Следует отметить, что $u^l - D > 0$ при $y \in [0, y_*)$ и $u^l - D < 0$ при $y \in (y_*, h_0]$, где

$$y_* = 8^{-1}(1 - \alpha)^{-1}(2 - \alpha)^2 h_0.$$

Второе соотношение в (28) с учетом $y^+(0) = h_*$ приводится к дифференциальному уравнению

$$(y - y_*) dy = (y^+ - 2y_*) dy^+.$$

В результате интегрирования получаем закон соответствия точек входа и выхода траекторий на фронте разрыва

$$y^+(y) = \frac{2 - \alpha}{2} h_* - \sqrt{y^2 - \frac{2 - \alpha}{2} h_* y + \frac{\alpha^2 h_*^2}{4}} \quad \left(0 \leq y \leq y_{**} = \frac{\alpha^2 h_0}{4(1 - \alpha)} \right). \quad (30)$$

Зависимость (30) монотонна, и $y^+(y_{**}) = h_0$.

Траектории движения частиц в разрывном решении 2 при $\omega_1 = 3$, $\omega_2 = -1$, $h_0 = 1$ показаны на рис. 6. Частицы, находящиеся перед разрывом $k = D - 0$ в слое $y \in [0, y_{**}]$, за разрывом $k = D + 0$ занимают слой $[h_*, h_0]$ (линии 1, 2). Частицы, занимающие при $k = D - 0$ слой $y \in (y_{**}, h_0]$, претерпевают разрыв (линии 3, 4). На разрыве частицы из слоя $y_1 \in [y_{**}, y_*)$ при $k = D - 0$ переходят в слой $y_2 \in (y_*, h_0]$ при $k = D + 0$. Закон соответствия траекторий задается формулой $y_2(y_1) = h_0 + y_{**} - y_1$. Следует отметить, что $u^l(y_1) - D > 0$

и $u^l(y_2) - D < 0$. В области $M = \{(k, y): D < k < u_1^r, 0 \leq y \leq h(k)\}$ происходит поворотное относительно волны движение (линии 5–8), причем траектории, приходящие на разрыв $k = D$, претерпевают скачок (линия 5). Проверка первого и третьего соотношений в (28) выполняется аналогично случаю 1.

Заключение. В рамках длинноволнового приближения решена задача о взаимодействии заполняющих канал сдвиговых потоков идеальной жидкости с кусочно-постоянными завихренностями. Установлено существование автомодельных решений, описывающих все возможные волновые конфигурации, включающие либо простую волну, либо сильный разрыв и простую волну. Предложена система дифференциальных уравнений для моделирования взаимодействия сдвиговых потоков с произвольными монотонными по глубине профилями скорости.

Автор выражает благодарность В. М. Тешукову за обсуждение результатов.

ЛИТЕРАТУРА

1. **Ляпидевский В. Ю., Тешуков В. М.** Математические модели распространения длинных волн в неоднородной жидкости. Новосибирск: Изд-во СО РАН, 2000.
2. **Тешуков В. М.** О гиперболичности уравнений длинных волн // Докл. АН СССР. 1985. Т. 284, № 3. С. 555–562.
3. **Тешуков В. М.** Нестационарное взаимодействие равномерно завихренных потоков // ПМТФ. 1998. Т. 39, № 5. С. 55–66.
4. **Захаров В. Е.** Уравнения Бенни и квазиклассическое приближение в методе обратной задачи // Функцион. анализ и его прил. 1980. Т. 14, вып. 2. С. 15–24.
5. **Чесноков А. А.** Вихревые движения жидкости в узком канале // ПМТФ. 1998. Т. 39, № 4. С. 38–49.
6. **Тешуков В. М.** Гидравлический прыжок на сдвиговом течении идеальной несжимаемой жидкости // ПМТФ. 1995. Т. 36, № 1. С. 11–20.
7. **Teshukov V., Russo G., Chesnokov A.** Analytical and numerical solutions of the shallow water equations for 2-D rotational flows // Math. Models Methods Appl. Sci. 2004. V. 14. P. 1451–1481.
8. **Куликовский А. Г., Погорелов Н. В., Семенов А. Ю.** Математические вопросы численного решения гиперболических систем уравнений. М.: Физматлит, 2001.
9. **Рождественский Б. Л., Яненко Н. Н.** Системы квазилинейных уравнений и их приложения к газовой динамике. М.: Наука, 1978.
10. **Bressan A.** Hyperbolic systems of conservation laws. The one-dimensional Cauchy problem. Oxford: Oxford Univ. Press, 2002.
11. **Олейник О. А.** Об одном классе разрывных решений квазилинейных уравнений первого порядка // Науч. докл. высш. шк. Сер. Физ.-мат. науки. 1958. № 3. С. 91–98.

Поступила в редакцию 6/XII 2005 г.